

TIPE 2018-2019

Résolution d'équations aux dérivées partielles par l'usage de réseaux de neurones

Thomas Pouplin (n° 21633)

Problématique :

Comment utiliser les réseaux de neurones afin de mettre en oeuvre une méthode de résolution des équations aux dérivées partielles ?

Comment peut-on mettre en pratique une telle méthode dans le cadre de la résolution du modèle LWR ?

Table des matières :

- 1 Présentation de la méthode de résolution et du modèle LWR
 - Les réseaux de neurones
 - Le modèle LWR
 - La méthode de résolution
- 2 Analyse des résultats et méthode des caractéristiques
 - Méthode des caractéristiques
 - Analyse des résultats
- 3 Bilan et évaluation de la méthode
 - Intérêt de la méthode
 - Limite de la méthode

Définition générale

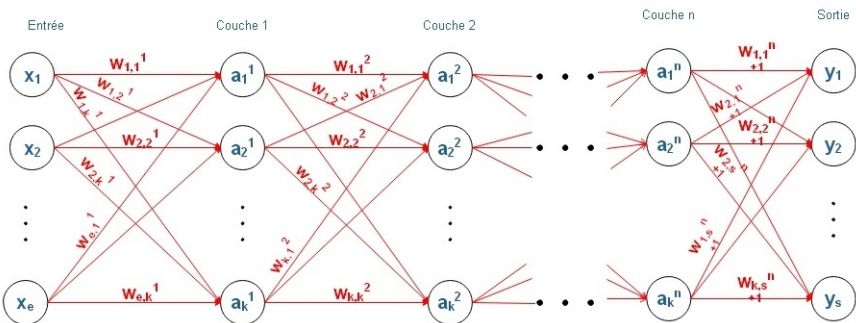
Un réseau de neurones permet de réaliser une fonction non linéaire de ses entrées.

Theorem

Théorème d'approximation universelle (König) : un réseau de neurones contenant un nombre fini de neurones peut approximer des fonctions continues sur des sous-ensembles compacts et ceci à n'importe quel degré de précision.

Notation

- a_i^j est le neurone i de la couche j
- $w_{i,j}^l$ est le poids de a_i^{l-1} à a_j^l
- b_i^j est le biais attaché à a_i^j (non représenté sur le graphe)
- Fonction d'activation : $\sigma : \mathbb{R} \rightarrow \mathbb{R}$
- Les neurones $a_i^j = \sigma(\sum_{m=1}^k w_{m,i}^j a_m^{j-1} + b_i^j)$



Utilisation des réseaux de neurones

$$NN : \begin{cases} \mathbb{R}^e \longrightarrow \mathbb{R}^s \\ \begin{bmatrix} x_1 \\ x_2 \\ \vdots \\ x_e \end{bmatrix} \mapsto \begin{bmatrix} y_1 \\ y_2 \\ \vdots \\ y_s \end{bmatrix} \end{cases}$$

avec

$$y_i = \sigma(\sum_{m=1}^k w_{m,i}^n (\sigma(\sum_{n=1}^{k-1} w_{n,m}^{(n-1)} (\dots (\sigma(\sum_{u=1}^k w_{u,p}^1 x_m + b_p^1))) + b_m^{(n-1)}) + b_i^n).$$

But de la méthode proposée : on cherche à modifier NN de sorte qu'elle satisfasse une équation aux dérivées partielles.

Les hypothèses

- Une route unidimensionnelle, sans intersection.
- Un modèle macroscopique : le trafic est un fluide incompressible et on fait l'hypothèse d'un milieu continu.
- Densité : $\rho(x, t)$; Vitesse moyenne : $v(x, t)$
- La vitesse moyenne dépend uniquement de la densité, selon la relation : $v(\rho) = v_{max} \left(1 - \exp\left(\frac{-c}{v_{max}}\left(1 - \frac{\rho_{max}}{\rho}\right)\right)\right)$.
 $v_{max} = c = \rho_{max} = 1 \Rightarrow v(\rho) = \underline{\left(1 - \exp\left(1 - \frac{1}{\rho}\right)\right)}$.
- Flux de voitures : $f = \rho v$

Loi de conservation

Theorem

- *Loi de conservation* : $\frac{d}{dt} \int_{x_1}^{x_2} \rho(x, t) dx = f(x_1, t) - f(x_2, t)$
- *Forme locale* : $\frac{\partial \rho}{\partial t} + \frac{\partial f \circ \rho}{\partial x} = 0$

Le modèle LWR : Situation initiale

On se place sur le carré $[0, 1]^2$.

On étudie une situation où on arrive dans un embouteillage :



Condition initiale : $\rho(x, 0) = g(x)$ avec

$$g : \begin{cases} [0, 1] \rightarrow [0, 1] \\ x \mapsto \begin{cases} 0.65 & \text{si } x \leq 0.2 \\ 0.9 & \text{sinon} \end{cases} \end{cases}$$

Fonction de coût

- Soit θ l'éventuelle solution de notre problème.
- Soit φ la fonction de coût. Elle représente une quantité que l'on cherche à minimiser.
- $\varphi \simeq NN - \theta$

Remarque : $\varphi = \varphi(w_{1,1}^1, w_{1,2}^1, \dots, w_{k,k}^{n+1}, b_1^1, \dots, b_k^{n+1})$

Implémentation de la fonction de coût

Pour satisfaire l'équation, on minimise
 $\forall x, t \in [0, 1]^2 \frac{\partial NN(x,t)}{\partial t} + \frac{\partial f \circ NN(x,t)}{\partial x}$.

$$\text{Pour } I \subset [0, 1]^2 : \varphi = \sum_{x,t \in I} \left(\frac{\partial NN(x,t)}{\partial t} + \frac{\partial f \circ NN(x,t)}{\partial x} \right)^2.$$

Choix de I : un nombre fixé de points pris au hasard.

Remarque: on a besoin de $\frac{\partial NN}{\partial t}$ et $\frac{\partial NN}{\partial x}$.

Implémentation des conditions initiales : 1ère implementation

On satisfait les conditions initiales par construction.

$\forall x, t \in [0, 1]^2 \quad NN^* = A(x) + t \cdot NN(x, t)$ avec

$$A : \begin{cases} \mathbb{R} \rightarrow \mathbb{R} \\ x \mapsto \begin{cases} 0.65 & \text{si } x \leq 0.2 \\ 0.9 & \text{sinon} \end{cases} \end{cases}$$

On a alors $\varphi = \sum_{x,t \in I} \left(\frac{\partial NN^*(x,t)}{\partial t} + \frac{\partial f \circ NN^*(x,t)}{\partial x} \right)^2$.

Implémentation des conditions initiales : 2ème implementation

On ajoute les conditions initiales dans le coût.

$$\varphi = \sum_{x,t \in I} \left[\left(\frac{\partial NN(x,t)}{\partial t} + \frac{\partial f \circ NN(x,t)}{\partial x} \right)^2 + ci \cdot B(x,t)^2 \right]$$

$$B : \begin{cases} \mathbb{R}^2 \rightarrow \mathbb{R} \\ x, t \mapsto \begin{cases} 0 & \text{si } t \neq 0 \\ NN(x, t) - 0.65 & \text{si } t = 0 \text{ et } x \leq 0.2 \\ NN(x, t) - 0.9 & \text{si } t = 0 \text{ et } x \geq 0.2 \end{cases} \end{cases}$$

$ci \in \mathbb{R}$ est un coefficient contrôlant le poids des conditions initiales dans le coût final.

Inconvénient de la seconde méthode : contrainte sur I

Algorithme du gradient

Algorithme du gradient :

- Calcul de $\nabla \varphi(w_{1,1}^1, w_{1,2}^1, \dots, w_{k,k}^{n+1}, b_1^1, \dots, b_k^{n+1})$; i.e $\frac{\partial \varphi}{\partial w_{i,j}^l}$ et $\frac{\partial \varphi}{\partial b_i^l}$;
- “Descente du gradient” :
$$\begin{cases} w_{i,j}^l \leftarrow w_{i,j}^l - v \cdot \frac{\partial \varphi}{\partial w_{i,j}^l} \\ b_i^l \leftarrow b_i^l - v \cdot \frac{\partial \varphi}{\partial b_i^l} \end{cases};$$

 $v \in \mathbb{R}^+$ est la vitesse d'apprentissage

Remarque :

- L'algorithme du gradient permet d'arriver à un minimum local mais rien ne prouve que c'est un minimum global.
- L'utilisation de l'algorithme nécessite σ dérivable.

Pseudo-code

Algorithmic 1 pseudocode

```
1: Mise en place du réseau
2: Initialisation des poids et biais
3: N = nombre de périodes d'apprentissage
4: Définition de la fonction coût
5:
6: for  $j = 1$  to  $N$  do
7:   I = Ensemble des points d'apprentissage pris au hasard
8:    $\varphi = 0$ 
9:
10:  for  $i$  in  $I$  do
11:     $\varphi +=$  coût( $i$ )
12:  end for
13:  Calcul des dérivées partielles de  $\varphi$ 
14:  Descente du gradient
15: end for
```

Principe Général

$$\text{Rappel : } \frac{\partial \rho(x,t)}{\partial t} + \frac{\partial f \circ \rho(x,t)}{\partial x} = 0 \Leftrightarrow \frac{\partial \rho(x,t)}{\partial t} + f'(\rho) \cdot \frac{\partial \rho(x,t)}{\partial x} = 0$$

Méthode de résolution partielle.

Theorem

ρ solution de l'équation est constante le long de la courbe

$$X : t \mapsto (x(t), t) \Rightarrow \forall t \in [0, 1] x'(t) = f'(\rho(x(t), t))$$

Preuve

Soit ρ solution constante le long de la courbe

$$\Rightarrow \forall t \in [0, 1] \frac{d\rho \circ X}{dt}(t) = 0$$

$$\Rightarrow \frac{\partial \rho}{\partial x}(x(t), t) \cdot x'(t) + \frac{\partial \rho}{\partial t}(x(t), t) = 0$$

Puis ρ solution de l'équation $\Rightarrow \frac{\partial \rho}{\partial x}(x(t), t) \cdot f'(\rho) + \frac{\partial \rho}{\partial t}(x(t), t) = 0$

Donc $\forall t \in [0, 1] \frac{\partial \rho}{\partial x}(x(t), t) \cdot (x'(t) - f'(\rho)) = 0$

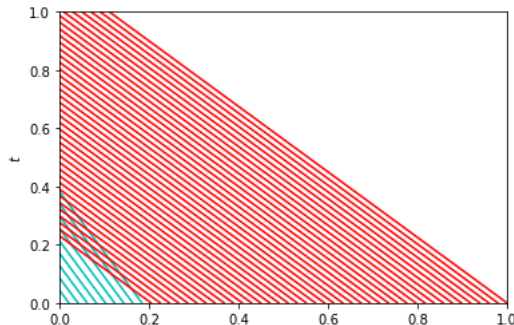
D'où en supposant $\frac{\partial \rho}{\partial x}(x(t), t) \neq 0$, on a $x'(t) = f'(\rho(x(t), t))$.

Application de la méthode

$$\begin{cases} x'(t) = f'(\rho(x(t), t)) \\ \rho(x(t), t) \text{ constante} \end{cases} \Rightarrow x' \text{ constante}$$

\Rightarrow la courbe $(x(t), t)$ est une droite

La caractéristique partant de x_0 à pour équation $x(t) = f'(\rho(x_0, 0)) \cdot t + x_0$



Solution faible : introduction

Soit ρ une solution de $\frac{\partial \rho}{\partial t} + \frac{\partial f(\rho)}{\partial x} = 0$

$\forall \varphi \in C^1(\mathbb{R} \times \mathbb{R}^+, \mathbb{R})$ à support compact,

$$\int_{\mathbb{R}^+} \int_{\mathbb{R}} \left(\frac{\partial \rho}{\partial t} + \frac{\partial f(\rho)}{\partial x} \right) \varphi dx dt = 0.$$

$$\Rightarrow \int_{\mathbb{R}^+} \int_{\mathbb{R}} \left(\rho \frac{\partial \varphi}{\partial t} + f(\rho) \frac{\partial \varphi}{\partial x} \right) dx dt + \int_{\mathbb{R}} g(x) \varphi(x, 0) = 0$$

Solution faible définition

Definitions

Une fonction ρ intégrable sur $\mathbb{R} \times \mathbb{R}^+$ est une solution faible si et seulement si pour toute fonction $\varphi \in C^1(\mathbb{R} \times \mathbb{R}^+, \mathbb{R})$ à support compact, elle respecte l'identité

$$\int_{\mathbb{R}^+} \int_{\mathbb{R}} (\rho \frac{\partial \varphi}{\partial t} + f(\rho) \frac{\partial \varphi}{\partial x}) dx dt + \int_{\mathbb{R}} g(x) \varphi(x, 0) dx = 0$$

Condition de Rankine-Hugoniot

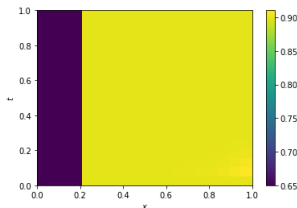
Soit λ la dérivée de la courbe de discontinuité, ρ^+ et ρ^- les valeurs de ρ de part et d'autre de la discontinuité.

Theorem

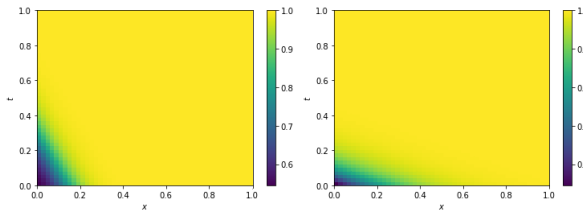
$$\text{Condition de Rankine-Hugoniot : } \lambda = \frac{f(\rho^+) - f(\rho^-)}{\rho^+ - \rho^-}$$

Présentation des résultats : $\rho(x, t)$ sur $[0, 1]^2$:

1ère implémentation des conditions initiales :



2ème implémentation des conditions initiales:

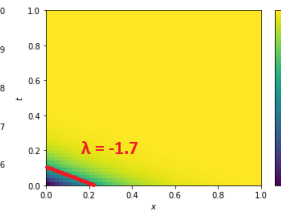
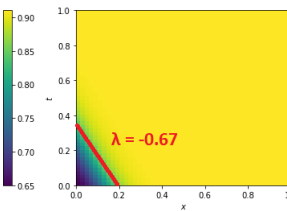
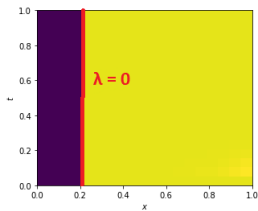


Evaluation des résultats

- Condition de Rankine-Hugoniot : $\lambda = \frac{f(\rho^+) - f(\rho^-)}{\rho^+ - \rho^-}$

Application numérique :

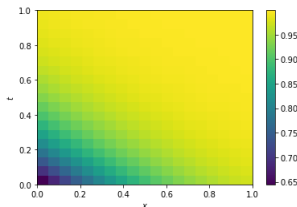
$$f(0.65) = 0.27 \text{ et } f(0.9) = 0.095 \Rightarrow \lambda = -0.70$$



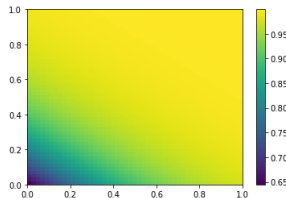
Principe de généralisation

- Intérêt théorique: pas besoin de discréteriser
- Intérêt pratique : le résultat obtenu est bien une fonction et non le graphe de celle-ci.

Exemple de généralisation 1



Entrainement sur un quadrillage de $[0, 1]^2$ avec 20×20 points



Résultat sur un quadrillage de $[0, 1]^2$ avec 50×50 points

Complexité temporelle

On note :

- N le nombre de périodes d'apprentissage
- k la somme du nombre de poids et du nombre de biais
- i le cardinal de l'ensemble I contenant les points utilisés pour une période d'apprentissage

La complexité temporelle de l'algorithme est alors en $O(Nki)$

Justification de la complexité temporelle

Algorithmic 2 pseudocode

```
1: Mise en place du réseau
2: Initialisation des poids et biais
3: N = nombre de périodes d'apprentissage
4: Définition de la fonction coût
5: for  $j = 1$  to  $N$  do
6:   I = Ensemble des points d'apprentissage
7:    $\varphi = 0$ 
8:   for  $i$  in  $I$  do
9:      $\varphi +=$  coût( $i$ )
10:  end for
11:  Calcul des dérivées partielles de  $\varphi$ 
12:  Descente du gradient
13: end for
```

Paralélisation des calculs

La partie la plus couteuse en temps est le calcul du coût total et de ses dérivées partielles par rapport aux poids et biais.

Solution : Décomposition du domaine d'apprentissage en sous domaine, chacun traité par un processeur différent.

On note H le nombre de processeurs utilisés.

La nouvelle complexité temporelle est en $O(\frac{Nik}{H})$.

Dépendance aux hyper-paramètres

Exemples d'hyper-paramètres : n nombre de couches du réseau, k nombre de neurones par couche, N nombre de périodes d'apprentissage, v vitesse d'apprentissage, initialisation des poids etc...

- Recalibrage des hyper-paramètres à chaque fois que l'on change d'équation.
- L'aléatoire de la réussite des apprentissages dépend aussi de ses hyper-paramètres.

Conclusion

Avantage :

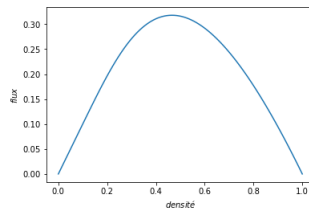
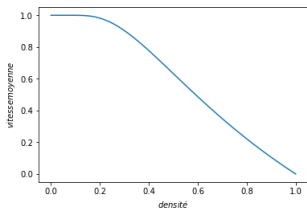
- Temps de calcul
- Résultat facile à manipuler.
- Nombreuses améliorations possibles.

Inconvénient :

- Difficile à implémenter en pratique

Remarques :

- $f \in C^\infty[0, 1]$ (et prolongeable continument en 0)
- $\forall x \in]0, 1] f''(x) = \frac{-1}{x^3} < 0 \Rightarrow f \text{ est strictement concave}$



Comparaison au méthodes classique

Exemple de méthode par discréétisation : méthode des éléments finis

Temps de calcul (en seconde) selon la dimension n d'une solution sur $[0, 1]^n$ avec une méthode de discréétisation :

Dimension :	1	2	10	100
Pas : 10^{-1}	10^{-8}	10^{-7}	10	10^{91}
Pas : 10^{-3}	10^{-6}	10^{-3}	10^{21}	10^{291}
Pas : 10^{-5}	10^{-4}	10	10^{41}	10^{491}

(pour un processeur à 1Ghz)

Tensorflow

- Code plus lisible, plus flexible
- Temps de calcul significativement amélioré

Plan d'un code utilisant Tensorflow :

- Construction de la structure d'un graphe
- Envoi de données dans le graphe

Condition de Rankine-Hugoniot : Preuve

Soit ρ une solution faible admettant une discontinuité.

- $(X(t), t)$ la courbe sur laquelle se situe la discontinuité,
 $(\lambda(t), 1)$ sa dérivée.
- $\Omega = [0, 1]^2; \Omega^+ = [0, 1] \times [X(t), 1]; \Omega^- = [0, 1] \times [0, X(t)]$
- $\rho|_{\Omega^+} = \rho^+; \rho|_{\Omega^-} = \rho^-$

Soit $\varphi \in C^1(\mathbb{R} \times \mathbb{R}^+, \mathbb{R})$ à support compact telle que
 $\forall x \in \mathbb{R} \varphi(x, 0) = 0$, alors $\int \int_{\Omega} (\rho \frac{\partial \varphi}{\partial t} + f(\rho) \frac{\partial \varphi}{\partial x}) dx dt = 0$
 $\Rightarrow \int \int_{\Omega^+} (\rho \frac{\partial \varphi}{\partial t} + f(\rho) \frac{\partial \varphi}{\partial x}) dx dt + \int \int_{\Omega^-} (\rho \frac{\partial \varphi}{\partial t} + f(\rho) \frac{\partial \varphi}{\partial x}) dx dt = 0$

Condition de Rankine-Hugoniot : Preuve

Theorem

$$(1) \operatorname{div}(\varphi \vec{v}) = \varphi \operatorname{div}(\vec{v}) + \vec{v} \cdot \overrightarrow{\operatorname{grad}}(\varphi)$$

(2) $\iiint_{\Omega} \operatorname{div}(\vec{v}) dV = \iint_{\partial\Omega} \vec{v} \cdot \vec{ds}$ avec \vec{ds} un vecteur unitaire normal à la frontière dirigé vers l'extérieur.

$$\begin{aligned} \int \int_{\Omega^-} \rho \frac{\partial \varphi}{\partial t} dxdt &= \int \int_{\Omega^-} \rho \operatorname{div}(0, \varphi) dxdt \\ &= \int \int_{\Omega^-} \operatorname{div}(\rho(0, \varphi)) dxdt - \int \int_{\Omega^-} (0, \varphi) \cdot \overrightarrow{\operatorname{grad}}(\rho) dxdt \quad (1) \end{aligned}$$

$$= \int_{\partial\Omega^-} \rho(0, \varphi) \cdot \vec{dv} - \int \int_{\Omega^-} (0, \varphi) \cdot \overrightarrow{\operatorname{grad}}(\rho) dxdt \quad (2)$$

avec $\vec{dv} = \alpha(1, -\lambda) dv$ et $\alpha = (1 + \lambda^2)^{-\frac{1}{2}}$

$$= - \int_{\partial\Omega^-} \alpha \rho \varphi \lambda(t) dv - \int \int_{\Omega^-} \frac{\partial \rho}{\partial t} \varphi dxdt$$

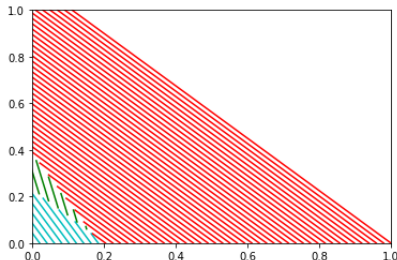
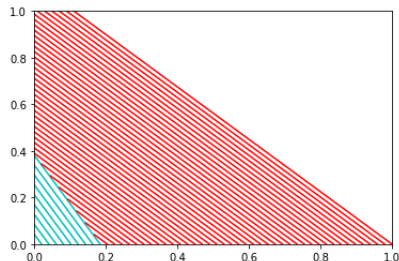
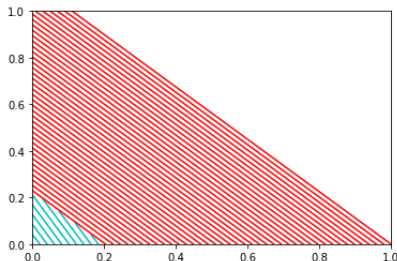
Condition de Rankine-Hugoniot : Preuve

$$\text{Ainsi } \int \int_{\Omega^-} (\rho \frac{\partial \varphi}{\partial t} + f(\rho) \frac{\partial \varphi}{\partial x}) dx dt = \\ - \int \int_{\Omega^-} \varphi (\frac{\partial \rho^-}{\partial t} + \frac{\partial f \rho^-}{\partial x}) dx dt + \int_{\partial \Omega^-} (-\rho^- \varphi \lambda(t) + f(\rho^-) \varphi) \alpha dv$$

$$\text{De même, } \int \int_{\Omega^+} (\rho \frac{\partial \varphi}{\partial t} + f(\rho) \frac{\partial \varphi}{\partial x}) dx dt = \\ - \int \int_{\Omega^+} \varphi (\frac{\partial \rho^+}{\partial t} + \frac{\partial f \rho^+}{\partial x}) dx dt + \int_{\partial \Omega^+} (-\rho^+ \varphi \lambda(t) + f(\rho^+) \varphi) \alpha dv$$

$$\Rightarrow - \int_{\partial \Omega^-} (-\rho^+ \lambda(t) + f(\rho^+)) \varphi \alpha dv + \int_{\partial \Omega^-} (-\rho^- \lambda(t) + f(\rho^-)) \varphi \alpha dv = 0 \\ \Rightarrow \int_{\partial \Omega^-} ((\rho^+ - \rho^-) \lambda(t) + (f(\rho^-) - f(\rho^+))) \alpha \varphi dv = 0 \\ \Rightarrow (\lambda(t)(\rho^+ - \rho^-) + (f(\rho^-) - f(\rho^+))) = 0$$

Lax entropy condition : notion d'entropie



Lax entropy condition : la condition

Theorem

Condition d'entropie de Lax : $f'(\rho^-) > \lambda > f'(\rho^+)$

Rappel :

- L'équation d'une caractéristique x partant de x_0 pour $t = 0$ est $x(t) = f'(\rho(x_0, 0)) \cdot t + x_0$
- Le flux f est strictement concave.

Remarque :

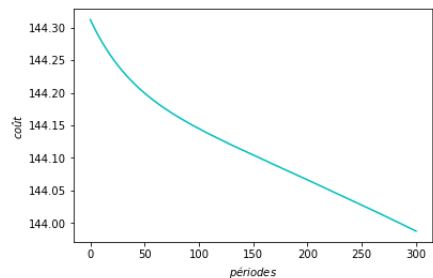
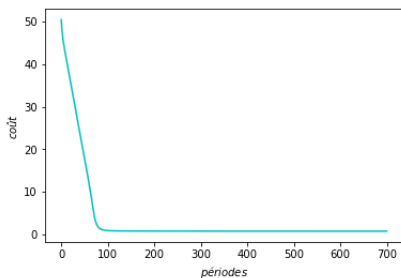
$$f'(\rho^-) > f'(\rho^+) \Leftrightarrow \rho^- < \rho^+$$

Pseudo-code après parallélisation

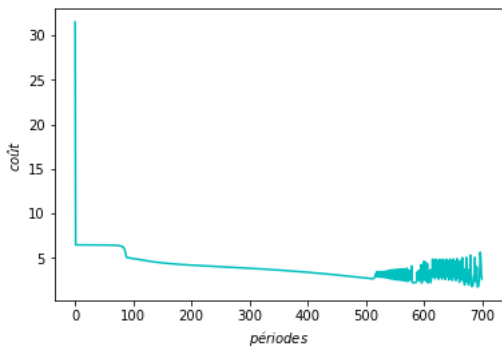
Algorithmic 3 pseudocode

```
1: Mise en place du réseau
2: Initialisation des poids et biais
3: N = nombre de périodes d'apprentissage
4: Définition de la fonction coût
5: H = nombre de processeurs utilisés
6: for  $j = 1$  to  $N$  do
7:   for  $h = 1$  to  $H$  do
8:      $I_h$  = Ensemble des points d'apprentissage pour le processeur  $h$ 
9:   end for
10:   $\varphi = 0$ 
11:  for  $h = 1$  to  $H$  do {en parallèle}
12:    for  $i$  in  $I_h$  do
13:       $\varphi +=$  coût( $i$ )
14:    end for
15:    Calcul des dérivées partielles de  $\varphi$ 
16:    Descente du gradient
17:  end for
```

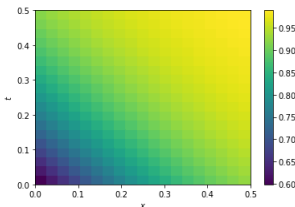
Difficulté : nombre de périodes d'apprentissage



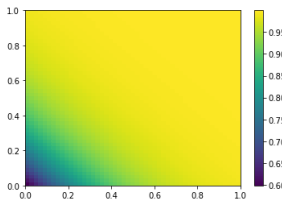
Difficulté : vitesse d'apprentissage



Autre exemple de généralisation



Entrainement sur un quadrillage de $[0, 0.5]^2$ avec 20×20 points



Résultat sur un quadrillage de $[0, 1]^2$ avec 50×50 points

Code

```
1 # -*- coding: utf-8 -*-
2 import tensorflow as tf
3 import matplotlib.pyplot as plt
4 import numpy as np
5
6 def B(x): # Condition initiale
7     cond = tf.cast(x <= 0.2, tf.float32)
8     return (0.65 * cond) + ((1-cond) * 0.9)
9
10
11 def df(x): # Dérivé du flux
12     return 1-tf.exp(1-1/x) + (-1/(x))*tf.exp(1 - 1/x)
13
14 def Init(x): # permet de séparer les points qui sont contraints par les conditions initiales
15     return (tf.cond(x <= 0, lambda: [1.], lambda:[0.]))

16
17
18 # Définition de l'espace :
19 nx = 20
20 ny = 20
21
22 x_space = (np.linspace(0., 1., nx))
23 y_space = (np.linspace(0., 1., ny))
24
25
26 # Neurones par couche ( on a 2 couches) :
27 n_nodes_h11 = 20
28 n_nodes_h12 = 20
29
30
31 x = tf.placeholder('float', [None, 2])
32
```

Code suite

```
34 def neural_network_model(data, grad_coef=10): # Initialisation du réseau
35     # Mise en place du réseau :
36     hidden_1_layer = {'weights': tf.Variable(tf.random_normal([2, n_nodes_h11])),
37                       'biases': tf.Variable(tf.random_normal([n_nodes_h11]))}
38
39     hidden_2_layer = {'weights': tf.Variable(tf.random_normal([n_nodes_h11, n_nodes_h12])),
40                       'biases': tf.Variable(tf.random_normal([n_nodes_h12]))}
41
42     output_layer = {'weights': tf.Variable(tf.random_normal([n_nodes_h12, 1])),
43                     'biases': tf.Variable(tf.random_normal([1]))}
44
45     l1 = tf.add(tf.matmul(data, hidden_1_layer['weights']),hidden_1_layer['biases'])
46     l2 = tf.add(tf.matmul(l1, hidden_2_layer['weights']),hidden_2_layer['biases'])
47     output = tf.add(tf.matmul(l2, output_layer['weights']),output_layer['biases'])
48
49     output = tf.sigmoid(output)
50
51     trial = output
52
53     # Implémentation du coût :
54     d = tf.gradients(trial, data)[0]
55     cost = tf.add(tf.multiply(d[:, 0], f(trial)), d[:, 1])
56     cost = tf.square(cost)
57     cost = tf.reduce_mean(cost)
58
59     # Contrainte des conditions initiales :
60     additional_cost =[tf.reduce_sum(tf.multiply(tf.transpose([tf.map_fn(aux,data[:,1])]),(tf.square(trial-B(tf.transpose([data[:,0])))))))]
61
62     # Coût final :
63     cost += grad_coef * additional_cost
64
65     return [trial,cost]
66
67
68 def train_neural_network(x): # Apprentissage
69
70     net_out, cst= neural_network_model(x)
71     optimizer = tf.train.GradientDescentOptimizer(0.0001).minimize(cst) # Choix de l'algorithme d'optimisation
72     hm_epochs = 1001 #Nombre de période d'apprentissage
73
74     fd = {x: [[xi, yi]
75               for xi in x_space for yi in y_space]}
76
77     with tf.Session() as sess: # Boucle d'apprentissage
78         sess.run(tf.global_variables_initializer())
79         for epoch in range(hm_epochs):
80             _ , epoch_loss = sess.run([optimizer, cst],feed_dict=fd)
81             print(sum(epoch_loss))
```

Code dérivées à la main

```
1 import numpy as np
2 from matplotlib import pyplot as plt
3 nx = 10
4 ny = 10
5 dx = 1. / nx
6 dy = 1. / ny
7 X_space = np.linspace(0, 1, nx)
8 Y_space = np.linspace(0, 1, ny)
9
10 def sigmoid(x):
11     return 1. / (1. + np.exp(-x))
12
13 def d_sigmoid():
14     return np.exp(-x) / ((1 + np.exp(-x))**2)
15
16 def d2_sigmoid():
17     return ((-np.exp(-x) / ((1 + np.exp(-x))**2)) * (2*np.exp(-x) / ((1+ np.exp(-x))**3)))
18
19 def carre(x):
20     return x**2
21
22 def produit(x,y): #fait le produit terme à terme de deux vecteurs
23     k = []
24     for i in range(len(x)):
25         k.append(x[i]*y[i])
26     return np.array(k)
27
28 def f(x):
29     return x*(1-np.exp(1-1/x))
30
31 def df(x):
32     return (1-(1/(1/x)))*np.exp(1-1/x)
33
34 def neural_network(W, x):
35     a1 = sigmoid(np.dot(x, W[0]))
36     return np.dot(a1, W[1])
37
38 #les dérivées premières et seconde du réseau de neurones pour les variables de l'espace x et y.
39 def ddx_neural_network(W, x):
40     a1 = d2_sigmoid(np.dot(x, W[0]))
41     a1 = produit(a1, np.apply_along_axis(carre, 0, W[0][0]))
42     return np.dot(a1, W[1])
43
44 def ddyy_neural_network(W, x):
45     a1 = d2_sigmoid(np.dot(x, W[0]))
46     a1 = produit(a1, np.apply_along_axis(carre, 0, W[0][1]))
47     return np.dot(a1, W[1])
48
49 def dx_neural_neuron(W,x):
50     a1 = d_sigmoid(np.dot(x, W[0]))
51     a1 = produit(a1, W[0][0])
52     return np.dot(a1, W[1])
53
54 def dy_neural_neuron(W,x):
55     a1 = d_sigmoid(np.dot(x, W[0]))
56     a1 = produit(a1, W[0][1])
57     return np.dot(a1, W[1])
58
59 def dw1_err(W,x,y,net_out,dx): #la dérivoit du coût par rapport aux poids de la deuxième couche
60     l = np.zeros(10,1)
61     for i,vi in enumerate(W[1]):
62         de = sigmoid(np.dot(x, W[0]))[i] + ((1 - vi) * (1 - sigmoid(np.dot(x, W[0])))[i] + \
63             ((x[1]**2)*(1 - vi)) * d_sigmoid(np.dot(x, W[0]))[i]) * (dx[0]**2) * (psy_trial[x, net_out] - \
64             ((1 - vi) * (1 - vi)) * sigmoid(np.dot(x, W[0]))[i]) * ((1 - np.exp(1 - 1 / (psy_trial[x, net_out])))) * \
65             - psy_trial[x, net_out] + ((x[1]) * (sigmoid(np.dot(x, W[0]))[i]) * ((1 - np.exp(1 - 1 / (psy_trial[x, net_out])))) * \
66             + (1 / (psy_trial[x, net_out]**2)) * np.exp(1 - 1 / psy_trial[x, net_out])))
67         de = 2*de
68         l[i] = de
69     return l
70
71 return 1
```



Code dérivées à la main suite

```

70 def dwij_err(W,x,y,net_out,dx): #la dérivé du coût par rapport aux poids de la première couche
71     l = np.zeros((2,10))
72     for i, w0i in enumerate(W[0][1:]):
73         de = x[0]*W[1][1]*d2_sigmoid(np.dot(x,W[0]))[i] + x[1]*(x[0]*W[1][1]*W[0][1][i]+W[0][1][i]*d2_sigmoid(np.dot(x,W[0]))[i])
74         + x[1]*(x[0]*W[1][1]*W[0][0][i])*d2_sigmoid(np.dot(x,W[0]))[i] + W[1][1]*d2_sigmoid(np.dot(x,W[0]))[i]) + f(psy_trial(x,net_out))\
75         + x[1]*(x[1]*W[1][1]*W[0][1][i])*d2_sigmoid(np.dot(x,W[0]))[i] + W[1][1]*d2_sigmoid(np.dot(x,W[0]))[i])*(1 - np.exp(1-psy_trial(x,net_out))) - \
76         psy_trial(x,net_out)*(1/(psy_trial(x,net_out)**2))*np.exp(1-psy_trial(x,net_out))
77         df = 2*de
78         l[0][i] = df
79
80     for i, w0i in enumerate(W[0][1:]):
81         de = x[1]*W[1][1]*d2_sigmoid(np.dot(x,W[0]))[i] + x[1]*(x[1]*W[1][1]*W[0][1][i]+W[0][1][i]*d2_sigmoid(np.dot(x,W[0]))[i])\
82         + x[1]*(x[0]*W[1][1]*W[0][0][i])*d2_sigmoid(np.dot(x,W[0]))[i] + W[1][1]*d2_sigmoid(np.dot(x,W[0]))[i])*(1 - np.exp(1-psy_trial(x,net_out))) - \
83         psy_trial(x,net_out)*(1/(psy_trial(x,net_out)**2))*np.exp(1-psy_trial(x,net_out))
84         df = 2*de
85         l[1][i] = df
86
87     return l
88
89 def A(x): #Condition initiale
90     if x[0] < 0.2: a = 0.65
91     else: a = 0.9
92     return a
93
94 def NN_trial(x, net_out): #Implémentation des conditions initiales
95     return A(x) * x[1]*net_out
96
97 def loss_function(W, x, y): # Calcul du coût et des dérivées partielles de celui-ci
98     loss_sum = 0.
99     grad = [np.zeros((2,10)), np.zeros((10,1))]
100    for xi in x:
101        for yi in y:
102            input_point = np.array([xi, yi])
103            net_out = neural_network(W, input_point)[0]
104            dx = dx_neural_network(W, input_point)[0]
105            dy = dy_neural_network(W, input_point)[0]
106
107            gradient_of_trial_dx = yi*(dx)
108            gradient_of_trial_dy = net_out + yi*dy
109
110            cost = (gradient_of_trial_dx*df(net_out) + gradient_of_trial_dy)
111
112            grad[0] += dwij_err(W,input_point,cost,net_out,dx)
113            grad[1] += dvj_err(W,input_point,cost,net_out,dy)
114
115            cost = ((gradient_of_trial_dx*df(net_out) + gradient_of_trial_dy))**2
116            loss_sum += cost
117
118    return grad
119
120 def apprentissage(W,vitesse): # Descente du gradient
121    for i in range(100):
122        loss_grad = loss_function(W,x_space,y_space)
123
124        W[0] = W[0] - vitesse * loss_grad[0]
125        W[1] = W[1] - vitesse * loss_grad[1]
126
127 W = [np.random.random((2, 10)), np.random.random((10, 1))]
```